

Реализация дробности в микроволновых делителях частоты

Ю. А. Никитин В. А. Юрова, П. В. Воропаев, А. Д. Шулимова

Санкт-Петербургский государственный университет телекоммуникаций им. проф. М.А. Бонч-Бруевича

Аннотация: Рассмотрено применение конечных автоматов на основе делителя с дробно-переменным коэффициентом деления (ДДПКД) в системах активного цифрового синтеза частот. Приведен пример возможного варианта построения поглотителя импульсов в ДДПКД, который позволяет реализовать максимальное быстродействие выбранной элементной базы автомата.

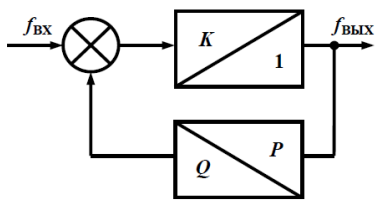
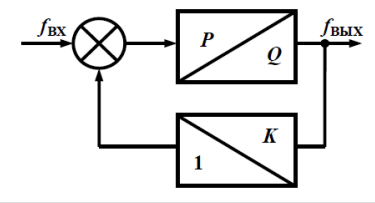
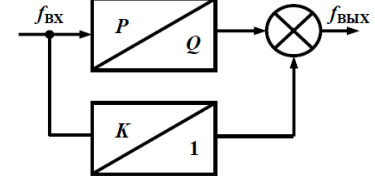
Ключевые слова: электроника, транзистор-транзисторная логика, конечный автомат, накапливающий сумматор, счетчик импульсов, делитель с дробно-переменным коэффициентом деления, триггер

1. Введение

Делители частоты с дробным (дробно-переменным) коэффициентом деления (ДДПКД) широко используются в синтезаторах частоты – как в пассивных цифровых двухуровневых, так и в умножающих кольцах импульсно-фазовой автоподстройки частоты (ИФАП).

При реализации ДДПКД кроме СИ с коэффициентом пересчета K используют НС и поглотитель импульсов, т.е. устройство, которое не пропускает один импульс входной последовательности по сигналу управления. Возможные варианты реализации ДДПКД приведены в таблице 1.

Таблица 1. Реализация ДДПКД

№	КА на основе СИ, НС и ПИ	Формула для $f_{\text{ВЫХ}}$
1		$f_{\text{ВЫХ}} = f_{\text{ВХ}} \frac{1}{K + \frac{Q}{P}} = f_{\text{ВХ}} \frac{P}{K + Q}$
2		$f_{\text{ВЫХ}} = f_{\text{ВХ}} \frac{Q}{P \left(1 + \frac{Q}{KP} \right)} = f_{\text{ВХ}} \frac{KQ}{KP + Q}$
3		$f_{\text{ВЫХ}} = f_{\text{ВХ}} \left(\frac{Q}{P} - \frac{1}{K} \right) = f_{\text{ВХ}} \frac{KQ - P}{KP}$

С точки зрения цифровой схемотехники ДДПКД являются счетчиками импульсов (СИ) с дробно-переменным коэффициентом пересчета (СПКП), однако, термин ДДПКД

(*Fractional-N*) в технике синтеза частот является общеупотребительным его мы и будем использовать. Реализуется дробность изменением коэффициента деления ДДПКД N по заданной программе.

В умножающих кольцах ИФАП коэффициент деления N может принимать значения от нескольких десятков единиц до нескольких десятков тысяч. Как правило, изменение дробного коэффициента $N = K + \alpha/Q$ происходит по сигналу управления с выхода накапливающего сумматора (НС), емкость которого Q определяет модуль дробности, а записанное в него число α – дробность коэффициента N . Например, если целая часть $K = 20$, $\alpha = 7$, $Q = 16$, то $N = 20 + 7/16$.

Заметим, что счетчик импульсов и накапливающий сумматор являются разновидностями конечного автомата, т.е. устройства, которое может изменять свое состояние только в дискретные моменты времени и которое обладает конечным числом устойчивых состояний.

Также заметим, что ДДПКД является прямопериодным КА, т.е. период колебания на его выходе прямо пропорционален коду управления – установленному коэффициенту деления N .

2. Рассмотрение структуры ДДПКД

Структурная схема одного из вариантов ДДПКД приведена на рисунке 1 [1]. В этом случае выходной период пропорционален коэффициенту деления

$$N = [K] + \{K\} = [K] + \alpha/Q,$$

где $\alpha = 0, 1, 2, \dots, Q - 1$, Q – модуль дробности. Поскольку $[K] = [K] + 1$, т.е. $K \in ([K], [K])$, можно записать:

$$N = \frac{[K](Q-\alpha) + [K]\alpha}{Q}.$$

В таком автомате НС используют для реализации дробности коэффициента деления N .

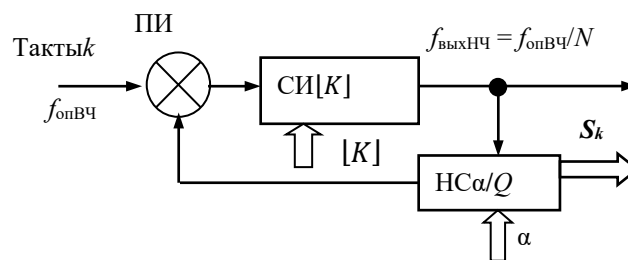


Рисунок 1. Структурная схема ДДПКД

Тактируют НС импульсами выходной частоты $f_{\text{выхНЧ}}$, поэтому требования к его быстродействию ослаблены в $[K]$ раз. А с учетом того факта, что быстродействие счетчика импульсов (СИ) значительно выше, чем быстродействие НС и может быть сделано равным быстродействию первого триггера счетчика, двухуровневые КА такого вида применяют (в виде ДДПКД) в микроволновых синтезированных генераторах на основе колец ИФАП для синтеза частот и информационных сигналов.

Изменение коэффициента пересчета СИ организуют с помощью НС и ПИ (рисунок 1). Средний за период неравномерности T_S коэффициент деления

$$K = \frac{1}{Q} \sum_{j=1}^Q K_j$$

равен требуемому, причем $K \in (\lfloor K \rfloor; \lceil K \rceil)$, где $\lceil K \rceil$ – оператор выделения целой части числа K , строго большей этого числа.

Для поглотителя импульсов функцию выхода можно записать аналогично такой же функции НС или ДДПКД [1]:

$$p_k = \lfloor k X_\alpha \rfloor - \lfloor (k-1) X_\alpha \rfloor, p_k \in (0, 1), X_\alpha \in (0, 1).$$

3. Моделирование

На рисунке 2 приведена модель ДДПКД с минимально возможным коэффициентом деления $K = 1$. Дробность N реализована с помощью СИ вместо НС, здесь $\alpha = 1$, $Q = 8$.

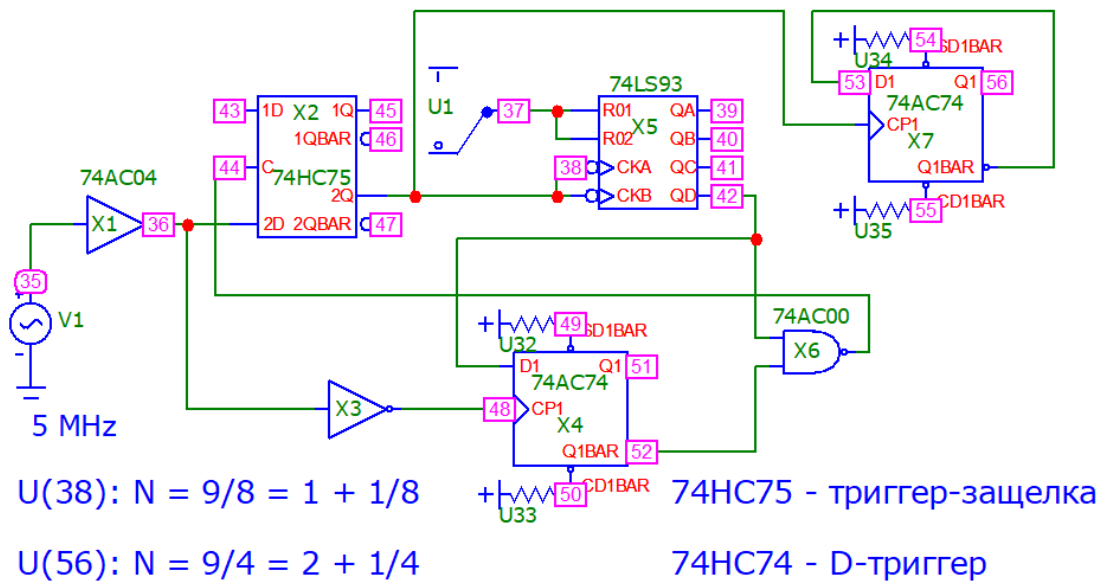


Рисунок 2. Вариант реализации ДДПКД с помощью триггера-защелки

На рисунке 3 приведены временные диаграммы работы схемы, показанной на рисунке 2.

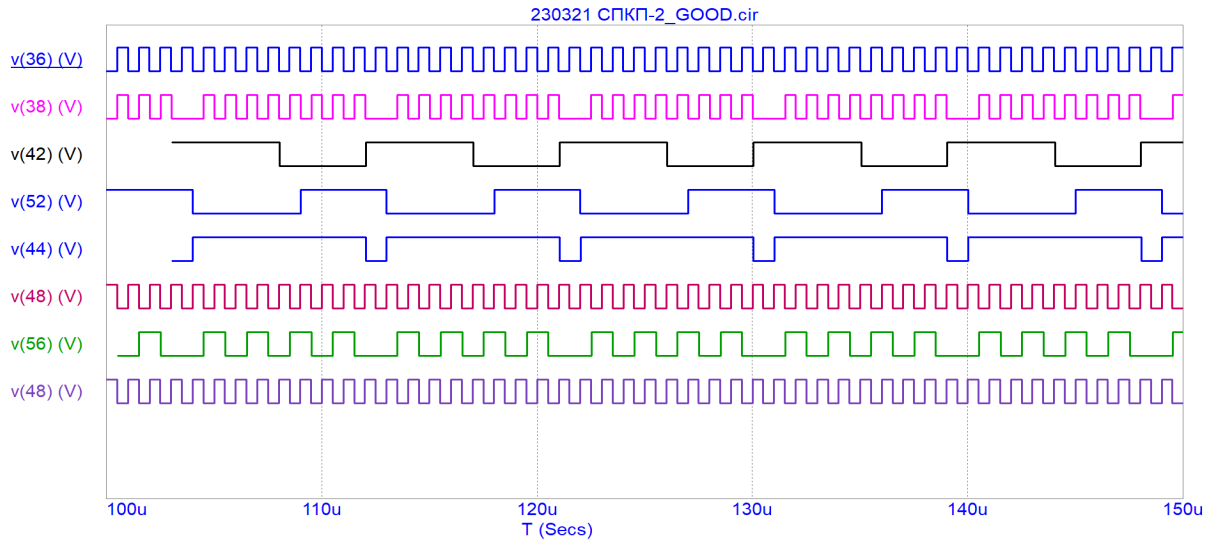


Рисунок 3. Временные диаграммы работы ДДПКД при $N = 1 + 1/8$

На рисунке 4 приведена еще одна реализация дробности на RS -триггере, построенном на логических элементах $X3$ и $X5$ и D -триггерах задержки $X6$, $X9$. Быстродействие такой схемы приближается к предельным значениям используемой элементной базы.

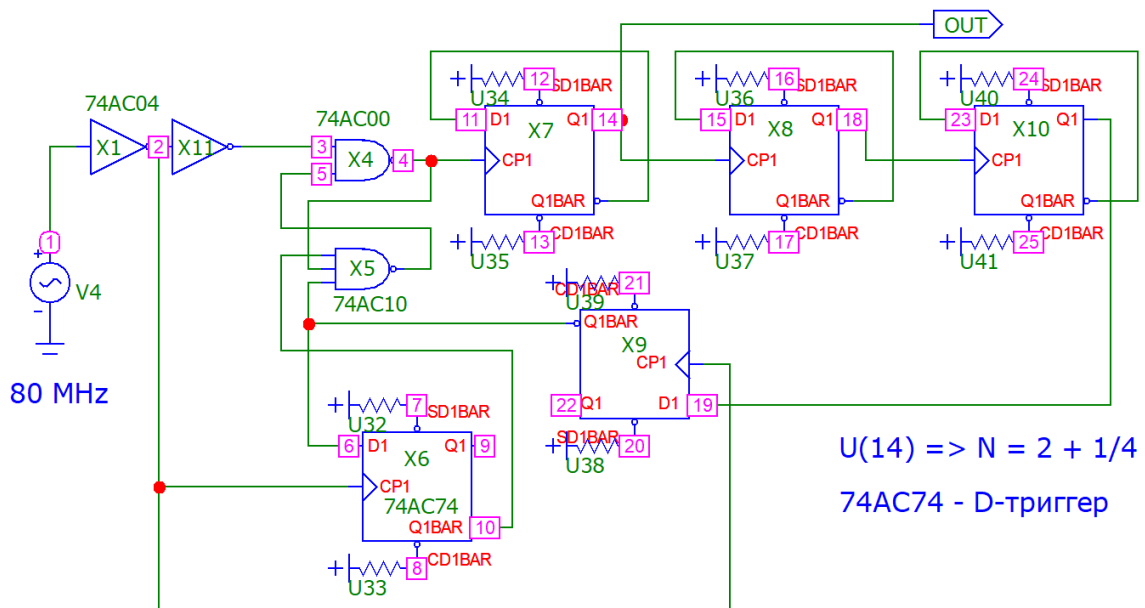


Рисунок 4. Реализация дробности с помощью RS -триггера

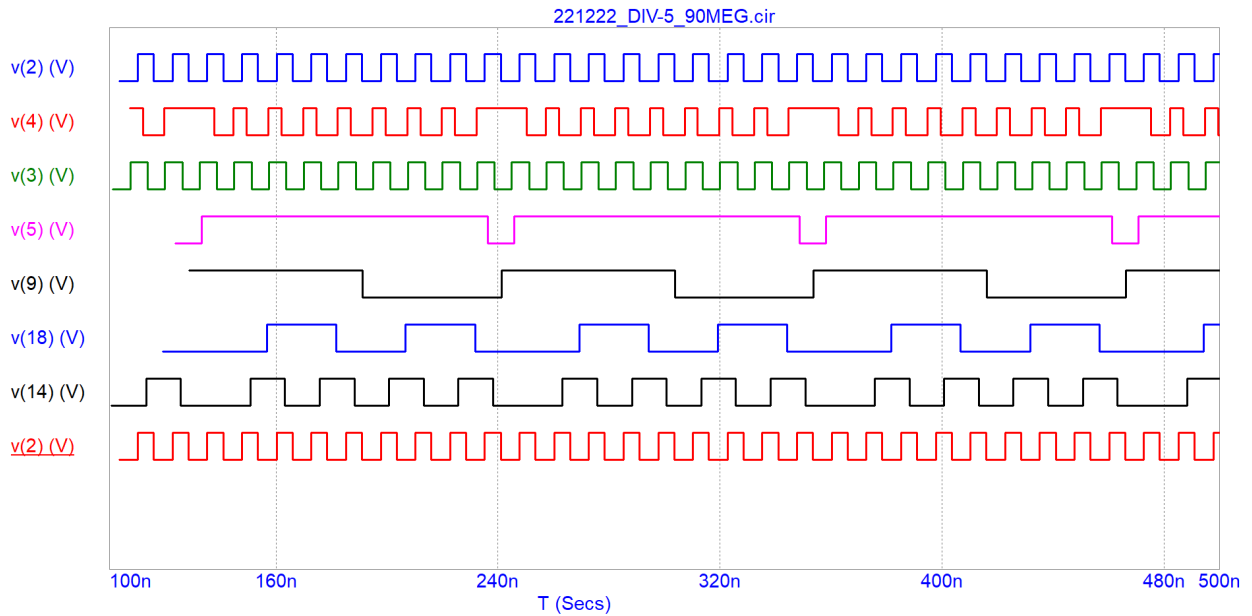


Рисунок 5. Временные диаграммы работы ДДПКД при $N = 2 + \frac{1}{4}$

На рисунке 6 приведена возможная реализация ПИ в ДДПКА, а на рисунке 7 показаны временные диаграммы в различных характерных точках тракта ДДПКД при $K = 1$; $N = P/Q = 1 + 1/8$ [4 – 6]. Происходит изменение коэффициента деления СИ, собранного на микросхеме К555ИЕ5 (74LS93) на единицу с $K = 8$ на $K = 9$. Если же между выходом элемента X8 и входом 6 D-триггера X6 включить накапливающий сумматор с емкостью Q , получим ДДПКД с $K = 8$ и дробностью α/Q , где $\alpha = 0, 1, 2, \dots, Q-1$.

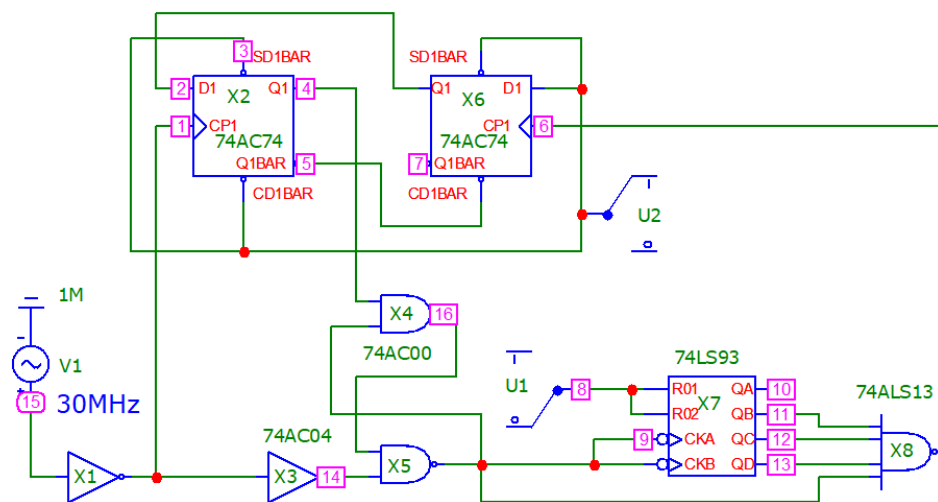


Рисунок 6. Возможная реализация тракта поглощения импульсов в ДДПКД

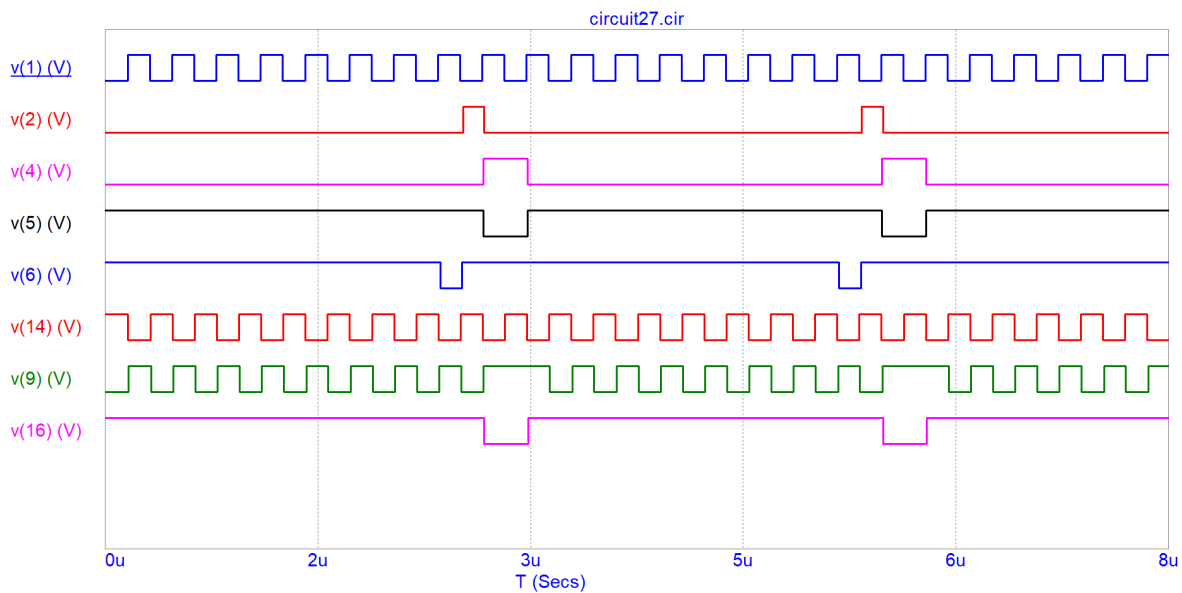


Рисунок7. Временные диаграммы работы тракта поглощения импульсов в ДДПКД

4. Заключение.

Наиболее удобно реализовать ДДПКД с помощью комбинации счетчика импульсов, накапливающего сумматора и поглотителя импульсов. Однако, реализация поглотителя импульсов требует взвешенных решений для обеспечения его максимального быстродействия.

Список литературы

1. Никитин Ю.А. Цифроаналоговый синтез частот. Теория и схемотехника: [монография] / Ю. Никитин. – СПб.: Изд-во СПб ГУТ, 2018. 367 с. ISBN 978-5-89160-178-9
2. Виноградов И. М. Основы теории чисел / И. М. Виноградов. – М. – Л.: ГИТТЛ, 1940. – 112 с.
3. Никитин Ю. А. Определение требований к элементам системы двухуровневого пассивного цифрового синтеза частот // Техника средств связи. Серия ТРС. – 1981. – Вып. 6. – С. 82–89.
4. Филиппов А. Г., Белкин О. С. Проектирование логических узлов ЭВМ. М., «Сов. Радио». 1974, 344с.
5. Карцев М. А., Брик В. А. Вычислительные системы и синхронная арифметика. – М. : Радио и связь, 1981. – 360 с.
6. Лейнов М. Л., Качалуба В. С., Рыжков А. В. Цифровые делители частоты на логических элементах– М. : Энергия, 1975. – 128 с.